

第 366 回 地 震 調 査 委 員 会 資 料

< 目 次 >

- ◆ 広帯域地震計を用いたモーメントテンソル解析結果（2021年11月01日-11月30日） …… 2
- ◆ 紀伊半島・東海地域の深部低周波微動活動状況（2021年11月） …… 13
- ◆ 四国の深部低周波微動活動状況（2021年11月） …… 14
- ◆ 2021年12月3日紀伊水道の地震3D CMT解析結果 …… 15

令 和 3 年 1 2 月 9 日



国立研究開発法人

防災科学技術研究所

National Research Institute for Earth Science and Disaster Resilience

広帯域地震計を用いたモーメントテンソル解析結果
(2021年11月01日-11月30日)

期間中のイベント数: 106

・北海道地方

- 2) オホーツク海南部 (11/01 04:51 Mw4.3 H360km VR74.54/3) 北北東-南南西方向に伸長軸を持つ型
- 49) オホーツク海南部 (11/13 14:02 Mw4.3 H_11km VR74.59/3) 南北圧縮の逆断層
- 72) 北海道東方沖 (11/21 04:07 Mw4.3 H_20km VR80.83/3) 西北西-東南東方向に圧縮軸を持つ型
- 91) 釧路沖 (11/26 17:37 Mw4.0 H_29km VR59.69/3) 北西-南東圧縮の逆断層
- 94) 根室半島南東沖 (11/29 05:33 Mw4.0 H_50km VR59.19/2) 北西-南東圧縮の逆断層

・東北地方

- 13) 福島県沖 (11/03 11:35 Mw4.7 H_50km VR87.07/3) 西北西-東南東圧縮の逆断層
- 24) 福島県沖 (11/06 23:40 Mw4.2 H_38km VR94.05/3) 北西-南東方向に伸長軸を持つ型
- 29) 岩手県沖 (11/07 21:44 Mw4.3 H_41km VR95.21/3) 西北西-東南東圧縮の逆断層
- 31) 青森県東方沖 (11/08 04:22 Mw4.2 H_56km VR93.01/3) 西北西-東南東圧縮の逆断層
- 34) 福島県中通り地方 (11/09 01:14 Mw4.4 H_5km VR92.00/3) 北北東-南南西伸張の正断層
- 38) 岩手県沖 (11/10 22:08 Mw4.0 H_38km VR69.94/3) 西北西-東南東圧縮の逆断層
- 64) 福島県沖 (11/17 15:24 Mw4.0 H_11km VR74.61/3) 北西-南東伸張の正断層
- 78) 宮城県沖 (11/23 18:48 Mw4.5 H_50km VR90.49/3) 西北西-東南東圧縮の逆断層
- 81) 岩手県沖 (11/24 17:06 Mw4.6 H_50km VR97.21/3) 西北西-東南東圧縮の逆断層

・関東・中部地方

- 4) 茨城県北部 (11/01 06:14 Mw5.2 H_59km VR89.76/3) 西北西-東南東圧縮の逆断層
- 26) 八丈島東方沖 (11/07 14:11 Mw4.1 H_38km VR62.48/3) 東北東-西南西伸張の横ずれ断層
- 30) 茨城県南部 (11/08 03:08 Mw4.2 H_56km VR93.48/3) 北北西-南南東圧縮の逆断層
- 40) 茨城県沖 (11/11 12:21 Mw4.2 H_41km VR84.80/3) 東北東-西南西伸張の正断層
- 43) 房総半島南東沖 (11/12 07:06 Mw4.1 H_5km VR55.97/3) 西北西-東南東圧縮の逆断層
- 61) 神奈川県西部 (11/17 02:54 Mw4.2 H_26km VR88.94/3) 西北西-東南東方向に圧縮軸を持つ型
- 69) 東京都多摩東部 (11/20 08:57 Mw4.5 H_98km VR92.49/3) 西北西-東南東圧縮の横ずれ断層
- 80) 茨城県沖 (11/24 14:44 Mw4.3 H_23km VR92.14/3) 西北西-東南東圧縮の逆断層
- 83) 茨城県沖 (11/24 19:28 Mw4.1 H_17km VR82.06/3) 東西圧縮の逆断層

・小笠原地方

- 8) 鳥島東方沖 (11/02 20:00 Mw4.4 H_5km VR77.00/3) 東北東-西南西圧縮の逆断層
- 58) 父島近海 (11/15 14:38 Mw4.8 H_5km VR58.95/3) 東北東-西南西圧縮の逆断層
- 70) 父島近海 (11/20 17:35 Mw5.0 H_5km VR80.90/3) 東北東-西南西圧縮の逆断層
- 90) 父島近海 (11/26 16:14 Mw5.7 H_5km VR75.21/3) 東西圧縮の逆断層
- 97) 鳥島東方沖 (11/29 21:40 Mw6.2 H_5km VR67.02/3) 東北東-西南西伸張の正断層
- 101) 鳥島東方沖 (11/30 07:29 Mw4.0 H_5km VR60.05/3) 東北東-西南西伸張の正断層
- 102) 鳥島東方沖 (11/30 08:34 Mw4.2 H_5km VR55.12/3) 北東-南西方向に伸長軸を持つ型
- 103) 鳥島東方沖 (11/30 09:30 Mw4.1 H_5km VR64.04/3) 東北東-西南西伸張の正断層
- 104) 鳥島東方沖 (11/30 15:34 Mw4.1 H_5km VR56.76/3) 東北東-西南西伸張の正断層
- 105) 鳥島東方沖 (11/30 15:53 Mw5.2 H_5km VR67.35/3) 東北東-西南西伸張の正断層

・東海道沖

- 21) 東海道沖 (11/05 13:55 Mw4.7 H380km VR94.17/3) 東北東—西南西圧縮の逆断層
96) 東海道沖 (11/29 20:22 Mw4.0 H360km VR64.65/3) 西北西—東南東圧縮の逆断層

・近畿地方

- 3) 紀伊半島沖 (11/01 05:35 Mw4.8 H_11km VR90.36/3) 北北西—南南東圧縮の逆断層

・九州地方

- 44) 奄美大島近海 (11/13 00:58 Mw4.1 H_5km VR93.13/3) 北西—南東伸張の正断層
48) 鹿児島県西方沖 (11/13 13:45 Mw5.0 H150km VR96.38/3) 西北西—東南東圧縮の逆断層

・沖縄地方

- 15) 東シナ海 (11/03 21:01 Mw4.1 H185km VR67.86/3) 北西—南東方向に圧縮軸を持つ型
22) 沖縄本島近海 (11/06 05:56 Mw4.2 H_32km VR67.04/3) 西北西—東南東圧縮の逆断層
28) 台湾付近 (11/07 20:23 Mw4.0 H_59km VR78.07/2) 北北西—南南東方向に伸長軸を持つ型
32) 沖縄本島近海 (11/08 13:23 Mw4.2 H_5km VR88.39/3) 北北西—南南東伸張の正断層
33) 台湾付近 (11/08 14:03 Mw4.3 H_8km VR78.16/3) 北北東—南南西方向に伸長軸を持つ型
36) 台湾付近 (11/10 03:24 Mw4.7 H_44km VR78.26/3) 南北圧縮の横ずれ断層
39) 沖縄本島南方沖 (11/11 00:45 Mw6.4 H_8km VR68.36/3) 北北西—南南東伸張の正断層
42) 沖縄本島南方沖 (11/12 05:53 Mw4.6 H_5km VR80.94/3) 南北伸張の正断層
53) 台湾付近 (11/14 22:05 Mw4.9 H_56km VR66.73/3) 東西方向に圧縮軸を持つ型
63) 台湾付近 (11/17 11:25 Mw4.9 H_5km VR80.68/3) 南北伸張の正断層
67) 沖縄本島近海 (11/19 02:54 Mw4.5 H_5km VR74.15/3) 北北西—南南東伸張の正断層
74) 台湾付近 (11/22 22:33 Mw4.6 H_5km VR73.59/2) 北北西—南南東方向に伸長軸を持つ型
75) 与那国島近海 (11/22 23:26 Mw4.5 H_50km VR58.50/3) 南北圧縮の逆断層
82) 台湾付近 (11/24 18:55 Mw5.1 H_35km VR80.45/3) 南北方向に圧縮軸を持つ型
88) 台湾付近 (11/26 06:15 Mw4.1 H_68km VR66.14/2) 北西—南東方向に圧縮軸を持つ型
93) 沖縄本島南方沖 (11/28 09:14 Mw4.2 H_5km VR81.77/2) 北北西—南南東伸張の正断層
95) 台湾付近 (11/29 08:11 Mw4.0 H_32km VR67.90/2) 北西—南東伸張の正断層

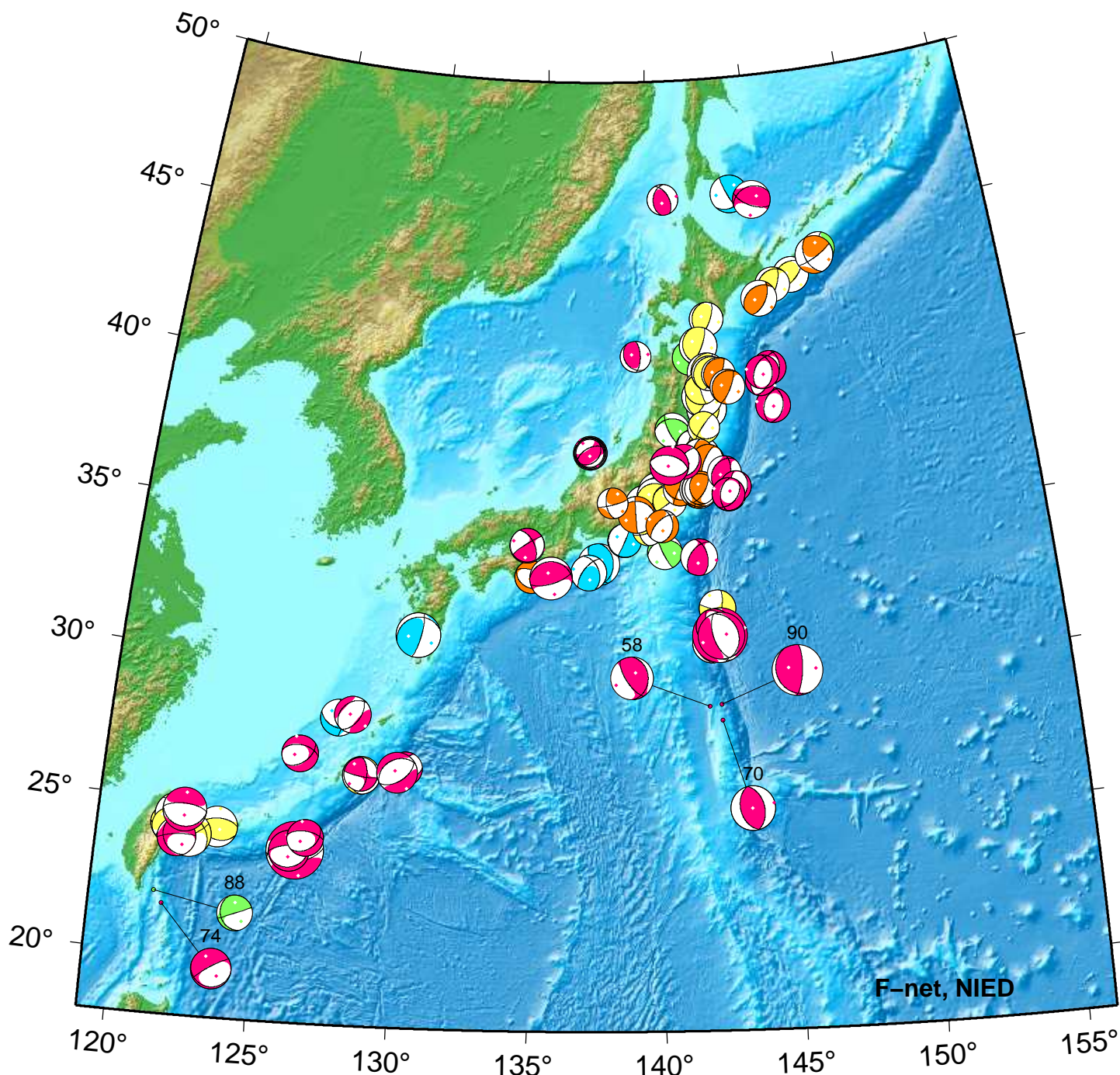
*Mw4.0 以上をリストアップ。 **下線部は Mw5.0 以上を示す。

"VR"欄の"/"の後の数は解析に使用した観測点数を示す。 *断層タイプの分類は Frohlich [1992]による。

謝辞 地形データは海上保安庁のものを使用させて頂きました。 記して感謝いたします

NIED Moment Tensor Solutions

Nov 01,2021–Nov 30,2021(JST)



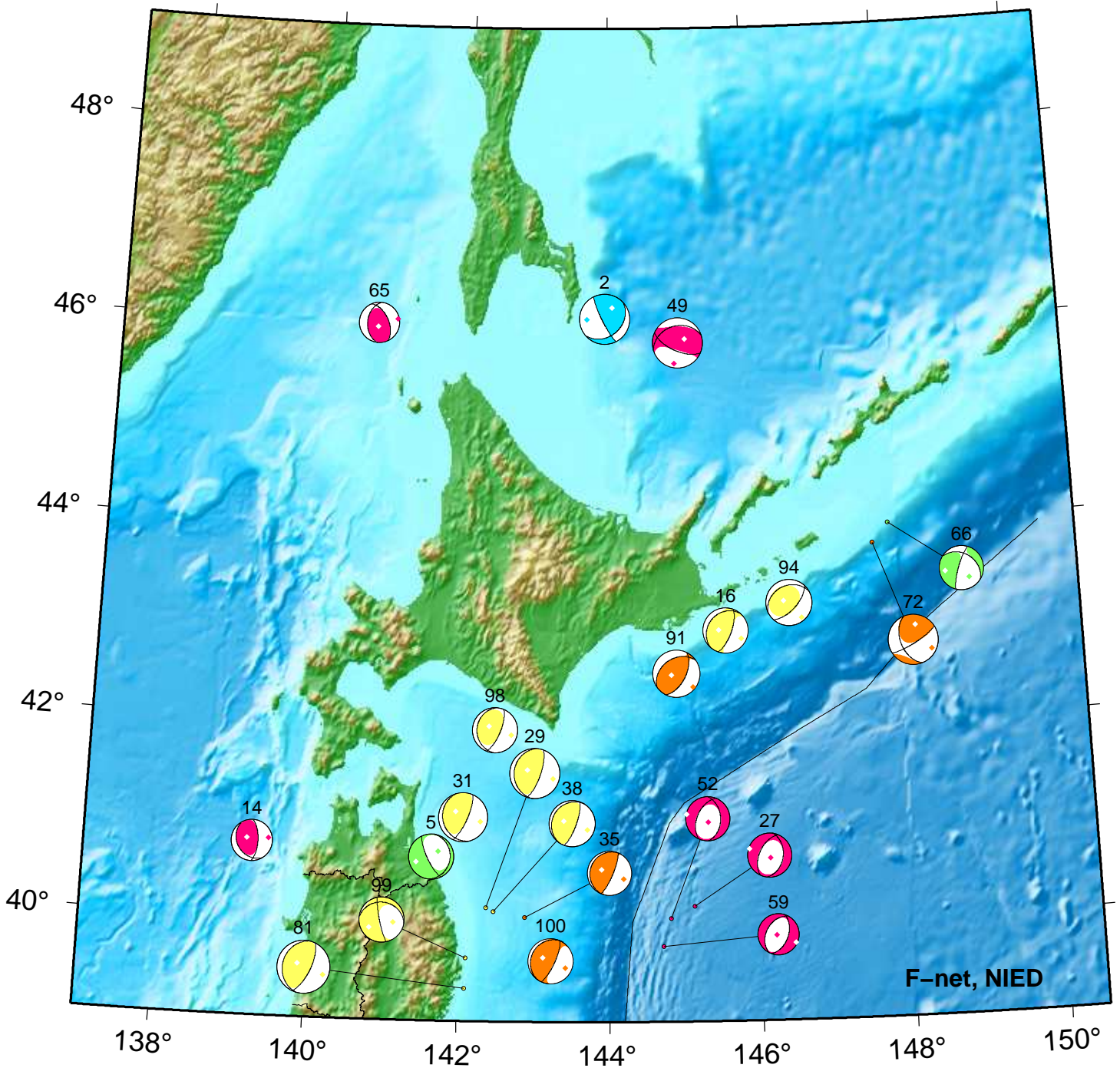
58. 11/15 14:38 Mw4.8 H_5km VR59.0
70. 11/20 17:35 Mw5.0 H_5km VR80.9

74. 11/22 22:33 Mw4.6 H_5km VR73.6
88. 11/26 06:15 Mw4.1 H_68km VR66.1

90. 11/26 16:14 Mw5.7 H_5km VR75.2

Hokkaido

Nov 01,2021–Nov 30,2021(JST)



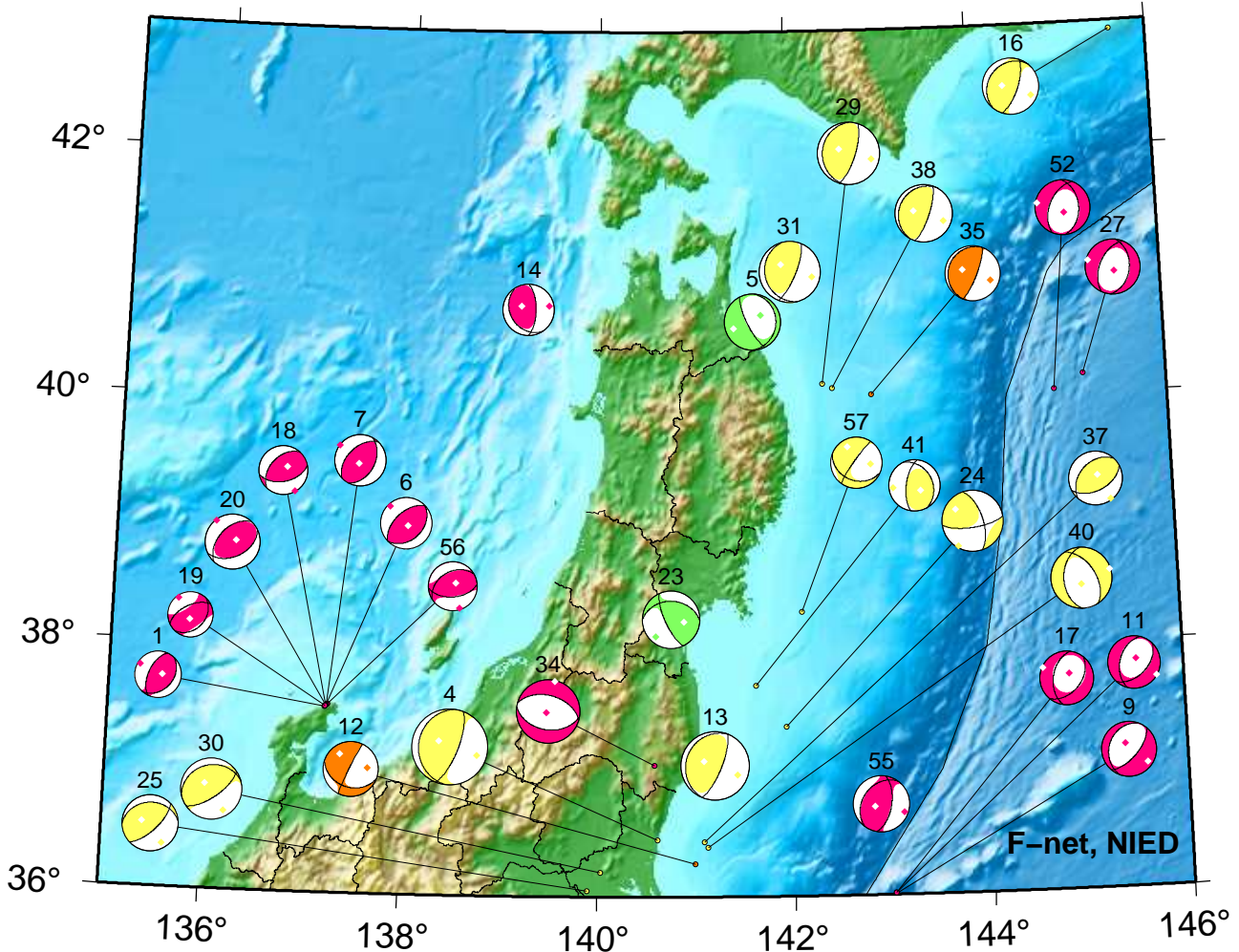
F-net, NIED



2. 11/01 04:51 Mw4.3 H360km VR74.5	35. 11/09 06:08 Mw3.8 H_29km VR83.5	72. 11/21 04:07 Mw4.3 H_20km VR80.8
5. 11/01 08:27 Mw3.9 H_98km VR83.8	38. 11/10 22:08 Mw4.0 H_38km VR69.9	81. 11/24 17:06 Mw4.6 H_50km VR97.2
14. 11/03 16:18 Mw3.5 H_8km VR59.7	49. 11/13 14:02 Mw4.3 H_11km VR74.6	91. 11/26 17:37 Mw4.0 H_29km VR59.7
16. 11/04 00:58 Mw3.9 H_44km VR75.9	52. 11/14 19:55 Mw3.8 H_5km VR77.5	94. 11/29 05:33 Mw4.0 H_50km VR59.2
27. 11/07 14:52 Mw3.8 H_8km VR63.3	59. 11/16 01:12 Mw3.5 H_5km VR75.9	98. 11/30 03:23 Mw3.9 H_59km VR74.5
29. 11/07 21:44 Mw4.3 H_41km VR95.2	65. 11/17 23:54 Mw3.5 H_5km VR53.5	99. 11/30 03:51 Mw3.8 H_41km VR64.2
31. 11/08 04:22 Mw4.2 H_56km VR93.0	66. 11/18 08:46 Mw3.7 H_89km VR63.0	100. 11/30 06:43 Mw3.9 H_17km VR88.5

Tohoku

Nov 01,2021–Nov 15,2021(JST)



F-net, NIED



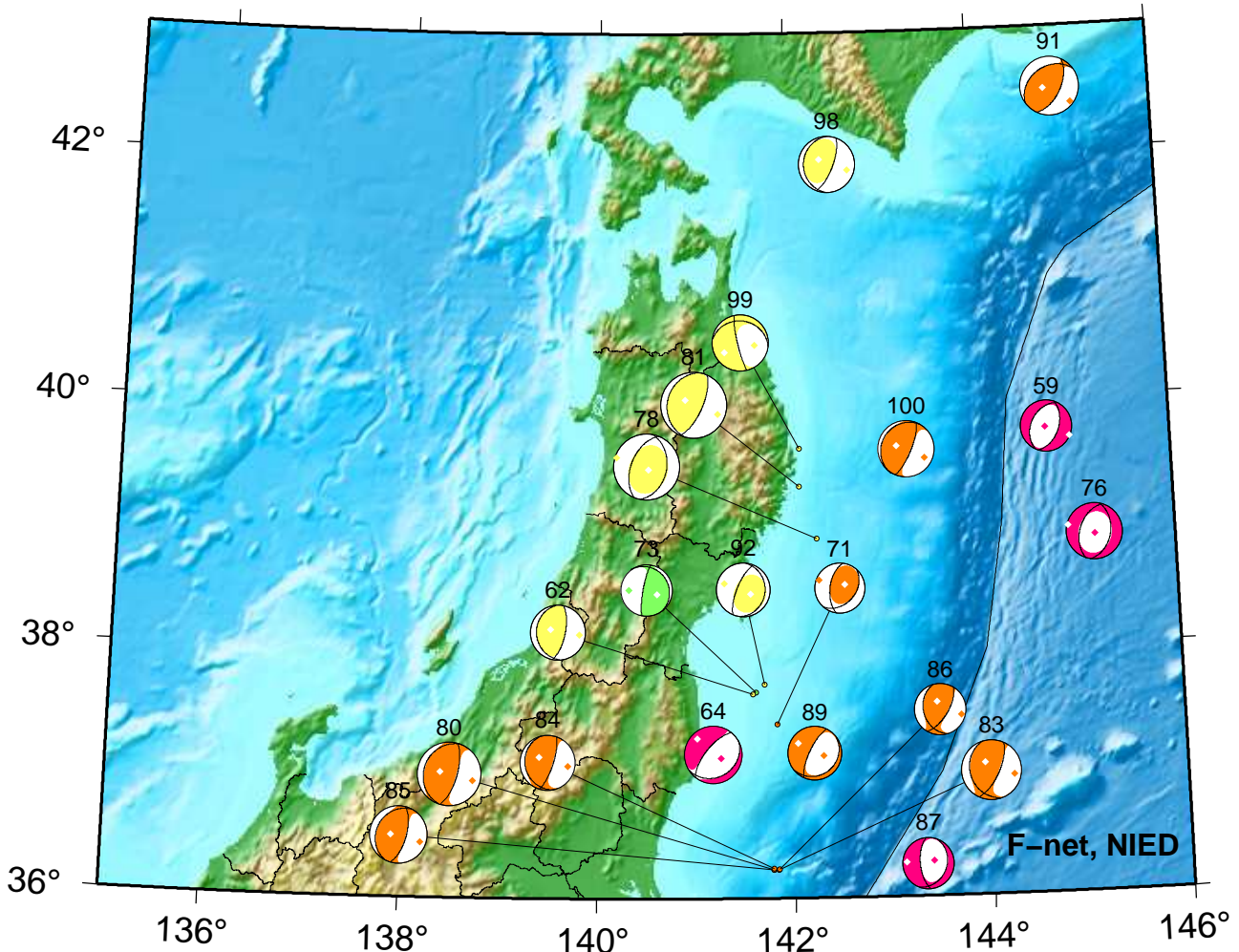
- 1. 11/01 00:41 Mw3.2 H_8km VR64.9
- 4. 11/01 06:14 Mw5.2 H_59km VR89.8
- 5. 11/01 08:27 Mw3.9 H_98km VR83.8
- 6. 11/02 06:17 Mw3.5 H_8km VR81.8
- 7. 11/02 19:06 Mw3.5 H_8km VR79.9
- 9. 11/03 00:00 Mw3.8 H_5km VR66.7
- 11. 11/03 09:02 Mw3.6 H_5km VR56.0
- 12. 11/03 11:10 Mw3.8 H_29km VR87.3
- 13. 11/03 11:35 Mw4.7 H_50km VR87.1
- 14. 11/03 16:18 Mw3.5 H_8km VR59.7
- 16. 11/04 00:58 Mw3.9 H_44km VR75.9

- 17. 11/04 08:12 Mw3.7 H_5km VR77.7
- 18. 11/04 22:44 Mw3.4 H_8km VR61.1
- 19. 11/04 22:47 Mw3.1 H_5km VR53.3
- 20. 11/05 00:21 Mw3.8 H_8km VR91.6
- 23. 11/06 09:08 Mw3.9 H_98km VR82.9
- 24. 11/06 23:40 Mw4.2 H_38km VR94.0
- 25. 11/07 04:40 Mw3.9 H_44km VR83.3
- 27. 11/07 14:52 Mw3.8 H_8km VR63.3
- 29. 11/07 21:44 Mw4.3 H_41km VR95.2
- 30. 11/08 03:08 Mw4.2 H_56km VR93.5
- 31. 11/08 04:22 Mw4.2 H_56km VR93.0

- 34. 11/09 01:14 Mw4.4 H_5km VR92.0
- 35. 11/09 06:08 Mw3.8 H_29km VR83.5
- 37. 11/10 14:57 Mw3.7 H_50km VR65.9
- 38. 11/10 22:08 Mw4.0 H_38km VR69.9
- 40. 11/11 12:21 Mw4.2 H_41km VR84.8
- 41. 11/12 05:23 Mw3.6 H_44km VR61.0
- 52. 11/14 19:55 Mw3.8 H_5km VR77.5
- 55. 11/15 00:04 Mw3.8 H_8km VR55.0
- 56. 11/15 10:04 Mw3.3 H_8km VR54.0
- 57. 11/15 10:28 Mw3.5 H_35km VR67.2

Tohoku

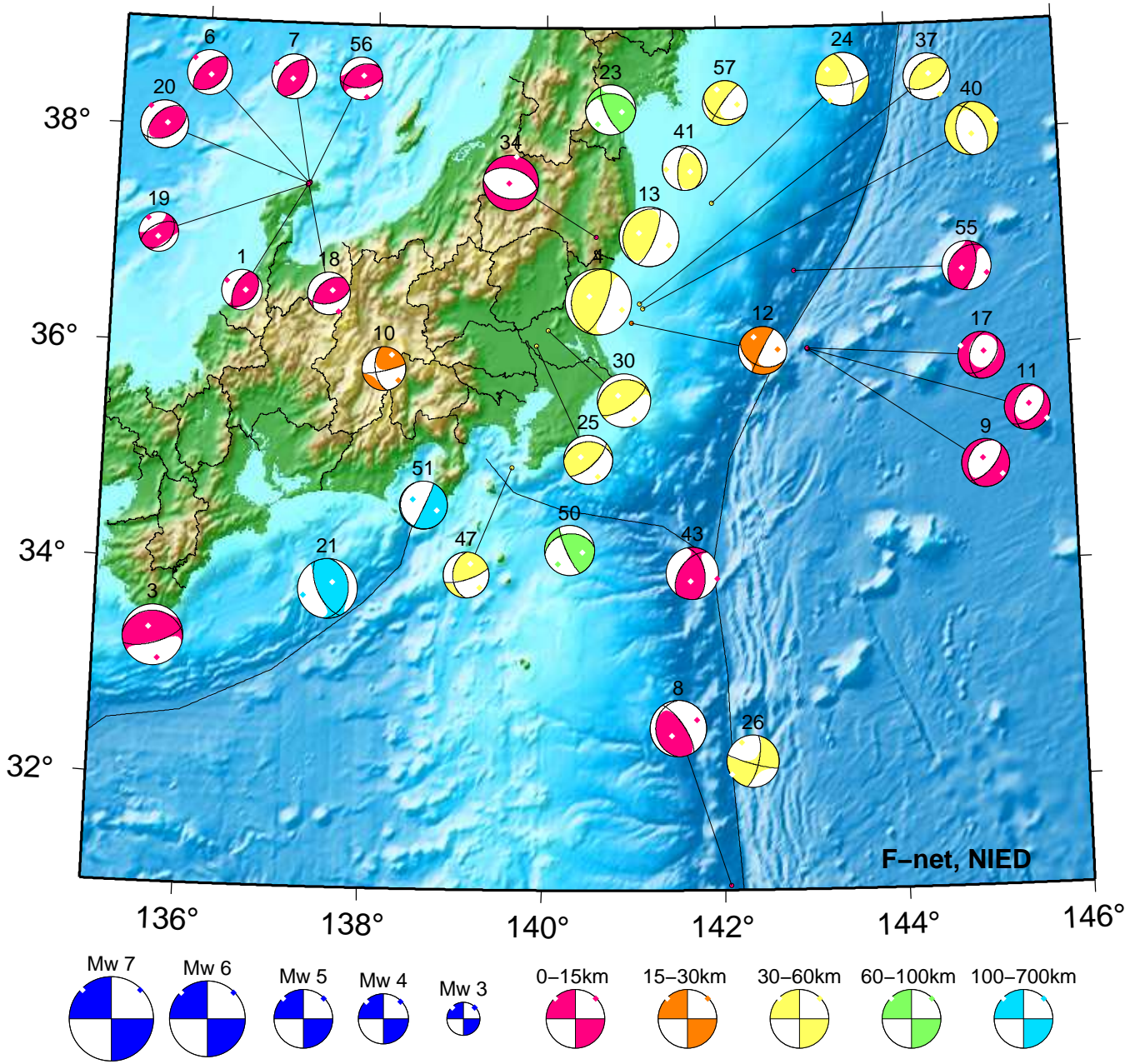
Nov 16,2021–Nov 30,2021(JST)



59. 11/16 01:12 Mw3.5 H_5km VR75.9	80. 11/24 14:44 Mw4.3 H_23km VR92.1	89. 11/26 14:50 Mw3.7 H_20km VR70.6
62. 11/17 07:46 Mw3.8 H_59km VR80.5	81. 11/24 17:06 Mw4.6 H_50km VR97.2	91. 11/26 17:37 Mw4.0 H_29km VR59.7
64. 11/17 15:24 Mw4.0 H_11km VR74.6	83. 11/24 19:28 Mw4.1 H_17km VR82.1	92. 11/28 07:04 Mw3.7 H_56km VR74.7
71. 11/20 22:50 Mw3.4 H_29km VR56.2	84. 11/24 20:34 Mw3.8 H_17km VR86.8	98. 11/30 03:23 Mw3.9 H_59km VR74.5
73. 11/22 09:30 Mw3.6 H_68km VR69.2	85. 11/25 03:51 Mw3.9 H_23km VR89.3	99. 11/30 03:51 Mw3.8 H_41km VR64.2
76. 11/23 08:49 Mw3.9 H_8km VR64.5	86. 11/25 10:28 Mw3.5 H_17km VR68.1	100. 11/30 06:43 Mw3.9 H_17km VR88.5
78. 11/23 18:48 Mw4.5 H_50km VR90.5	87. 11/25 10:37 Mw3.5 H_5km VR61.5	

Kanto-Chubu

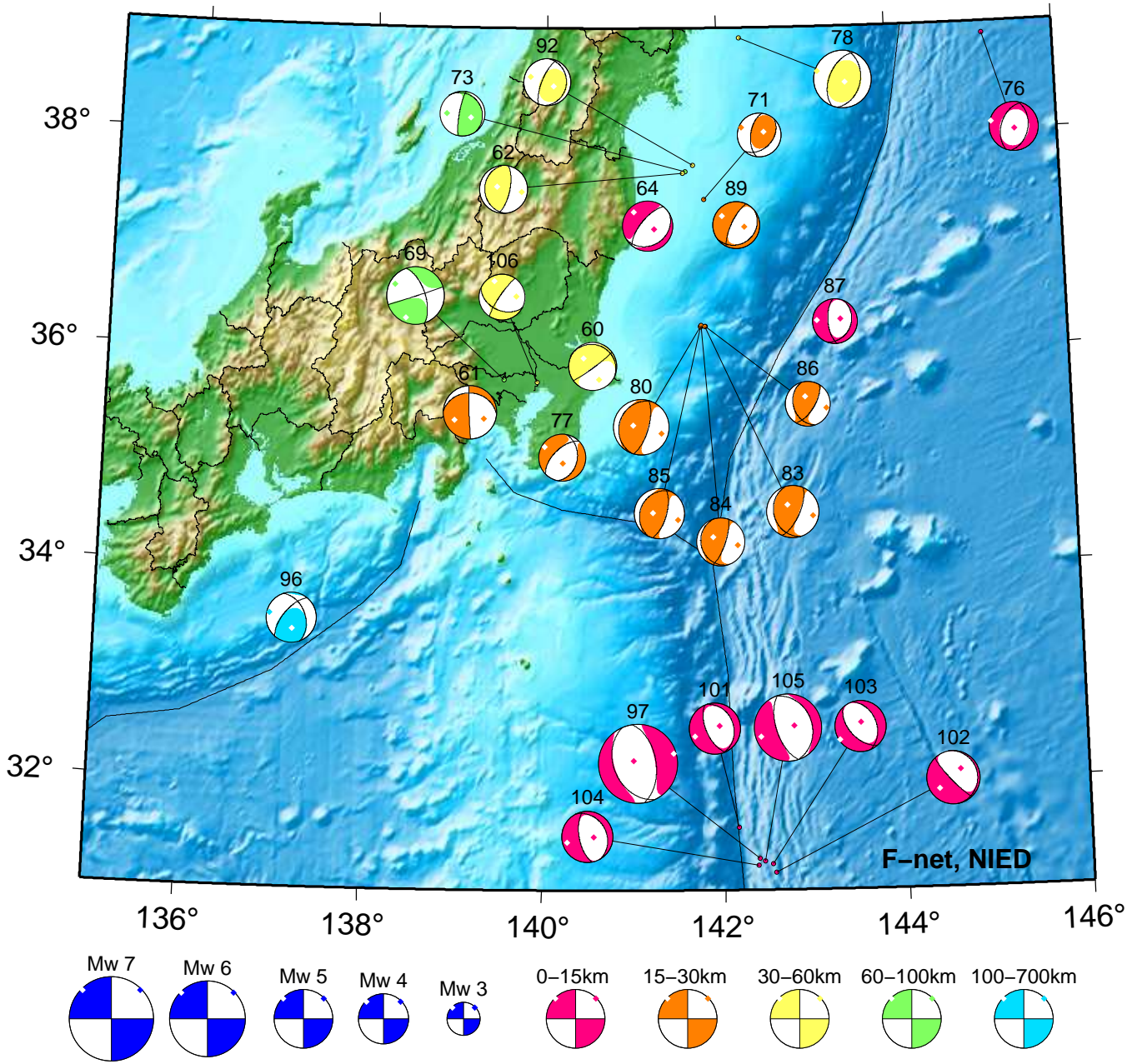
Nov 01,2021–Nov 15,2021(JST)



- | | | |
|-------------------------------------|-------------------------------------|-------------------------------------|
| 1. 11/01 00:41 Mw3.2 H_8km VR64.9 | 17. 11/04 08:12 Mw3.7 H_5km VR77.7 | 37. 11/10 14:57 Mw3.7 H_50km VR65.9 |
| 3. 11/01 05:35 Mw4.8 H_11km VR90.4 | 18. 11/04 22:44 Mw3.4 H_8km VR61.1 | 40. 11/11 12:21 Mw4.2 H_41km VR84.8 |
| 4. 11/01 06:14 Mw5.2 H_59km VR89.8 | 19. 11/04 22:47 Mw3.1 H_5km VR53.3 | 41. 11/12 05:23 Mw3.6 H_44km VR61.0 |
| 6. 11/02 06:17 Mw3.5 H_8km VR81.8 | 20. 11/05 00:21 Mw3.8 H_8km VR91.6 | 43. 11/12 07:06 Mw4.1 H_5km VR56.0 |
| 7. 11/02 19:06 Mw3.5 H_8km VR79.9 | 21. 11/05 13:55 Mw4.7 H380km VR94.2 | 47. 11/13 11:59 Mw3.6 H_35km VR82.1 |
| 8. 11/02 20:00 Mw4.4 H_5km VR77.0 | 23. 11/06 09:08 Mw3.9 H_98km VR82.9 | 50. 11/13 20:17 Mw3.9 H_71km VR82.9 |
| 9. 11/03 00:00 Mw3.8 H_5km VR66.7 | 24. 11/06 23:40 Mw4.2 H_38km VR94.0 | 51. 11/14 11:39 Mw3.8 H170km VR56.2 |
| 10. 11/03 01:19 Mw3.5 H_17km VR81.4 | 25. 11/07 04:40 Mw3.9 H_44km VR83.3 | 55. 11/15 00:04 Mw3.8 H_8km VR55.0 |
| 11. 11/03 09:02 Mw3.6 H_5km VR56.0 | 26. 11/07 14:11 Mw4.1 H_38km VR62.5 | 56. 11/15 10:04 Mw3.3 H_8km VR54.0 |
| 12. 11/03 11:10 Mw3.8 H_29km VR87.3 | 30. 11/08 03:08 Mw4.2 H_56km VR93.5 | 57. 11/15 10:28 Mw3.5 H_35km VR67.2 |
| 13. 11/03 11:35 Mw4.7 H_50km VR87.1 | 34. 11/09 01:14 Mw4.4 H_5km VR92.0 | |

Kanto-Chubu

Nov 16,2021–Nov 30,2021(JST)



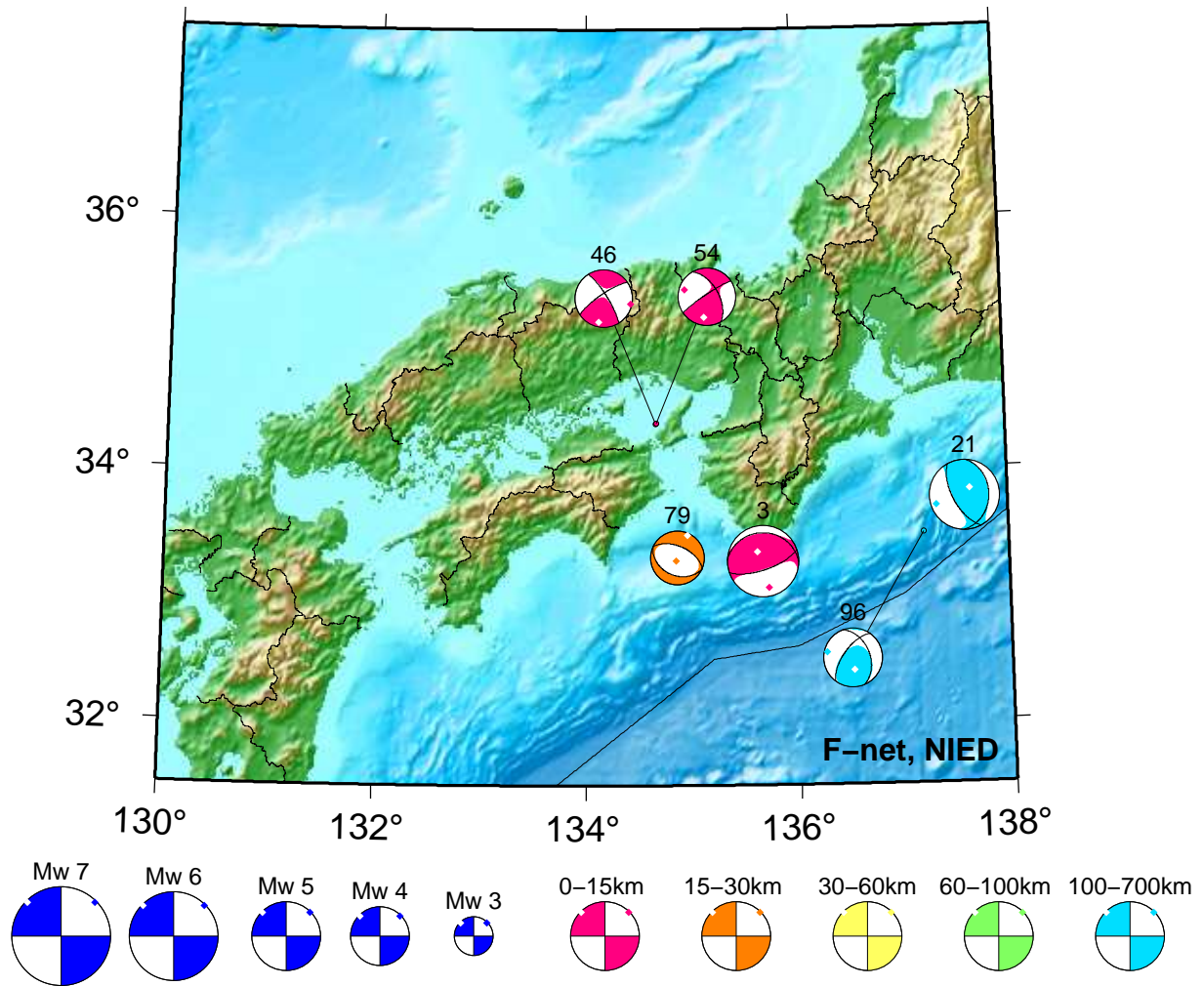
60. 11/16 07:48 Mw3.8 H_41km VR86.1
 61. 11/17 02:54 Mw4.2 H_26km VR88.9
 62. 11/17 07:46 Mw3.8 H_59km VR80.5
 64. 11/17 15:24 Mw4.0 H_11km VR74.6
 69. 11/20 08:57 Mw4.5 H_98km VR92.5
 71. 11/20 22:50 Mw3.4 H_29km VR56.2
 73. 11/22 09:30 Mw3.6 H_68km VR69.2
 76. 11/23 08:49 Mw3.9 H_8km VR64.5
 77. 11/23 08:52 Mw3.7 H_20km VR56.2

78. 11/23 18:48 Mw4.5 H_50km VR90.5
 80. 11/24 14:44 Mw4.3 H_23km VR92.1
 83. 11/24 19:28 Mw4.1 H_17km VR82.1
 84. 11/24 20:34 Mw3.8 H_17km VR86.8
 85. 11/25 03:51 Mw3.9 H_23km VR89.3
 86. 11/25 10:28 Mw3.5 H_17km VR68.1
 87. 11/25 10:37 Mw3.5 H_5km VR61.5
 89. 11/26 14:50 Mw3.7 H_20km VR70.6
 92. 11/28 07:04 Mw3.7 H_56km VR74.7

96. 11/29 20:22 Mw4.0 H360km VR64.7
 97. 11/29 21:40 Mw6.2 H_5km VR67.0
 101. 11/30 07:29 Mw4.0 H_5km VR60.0
 102. 11/30 08:34 Mw4.2 H_5km VR55.1
 103. 11/30 09:30 Mw4.1 H_5km VR64.0
 104. 11/30 15:34 Mw4.1 H_5km VR56.8
 105. 11/30 15:53 Mw5.2 H_5km VR67.3
 106. 11/30 17:58 Mw3.7 H_56km VR61.6

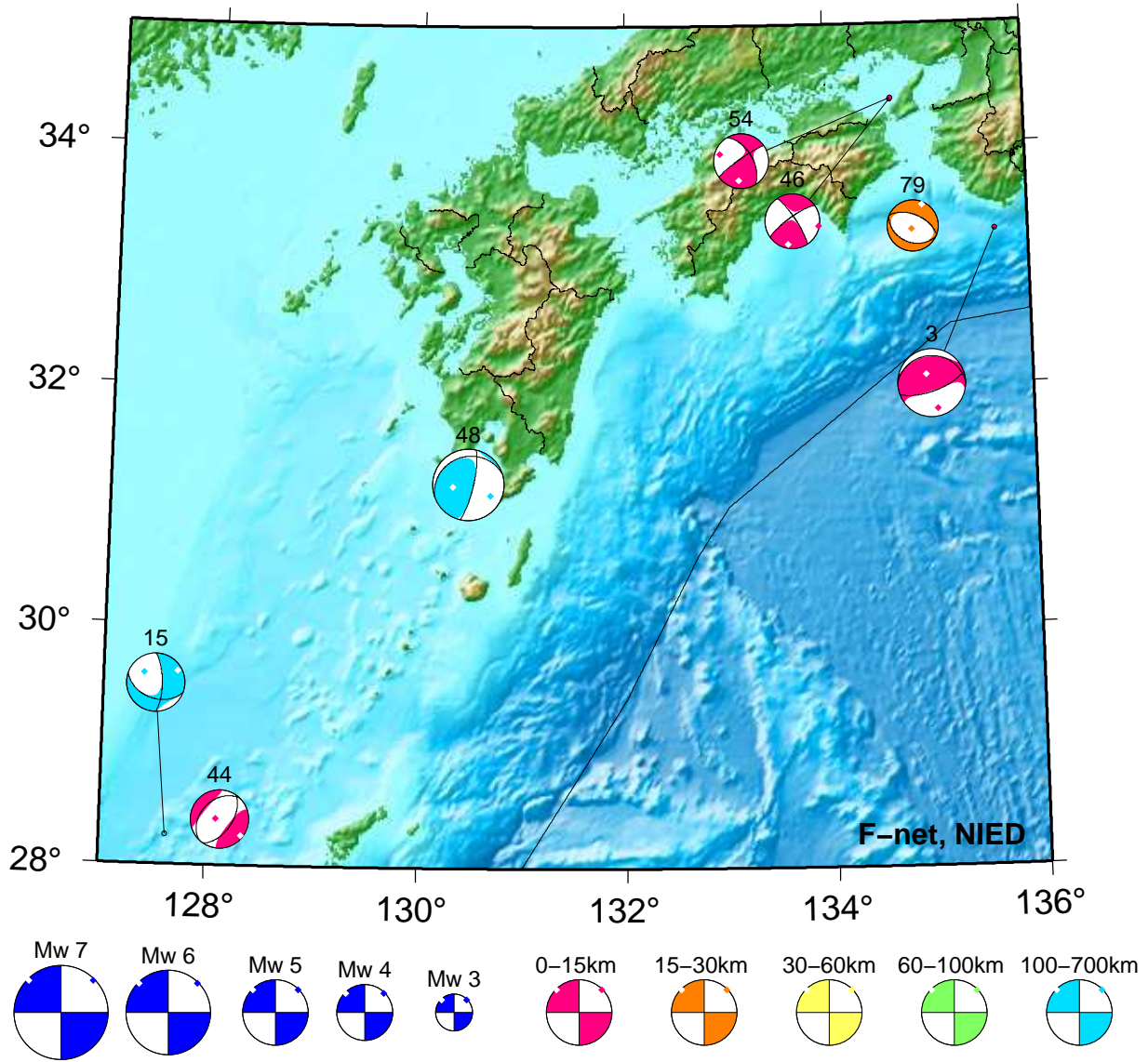
Kinki-Chugoku-Shikoku

Nov 01,2021–Nov 30,2021(JST)



Kyushu

Nov 01,2021–Nov 30,2021(JST)



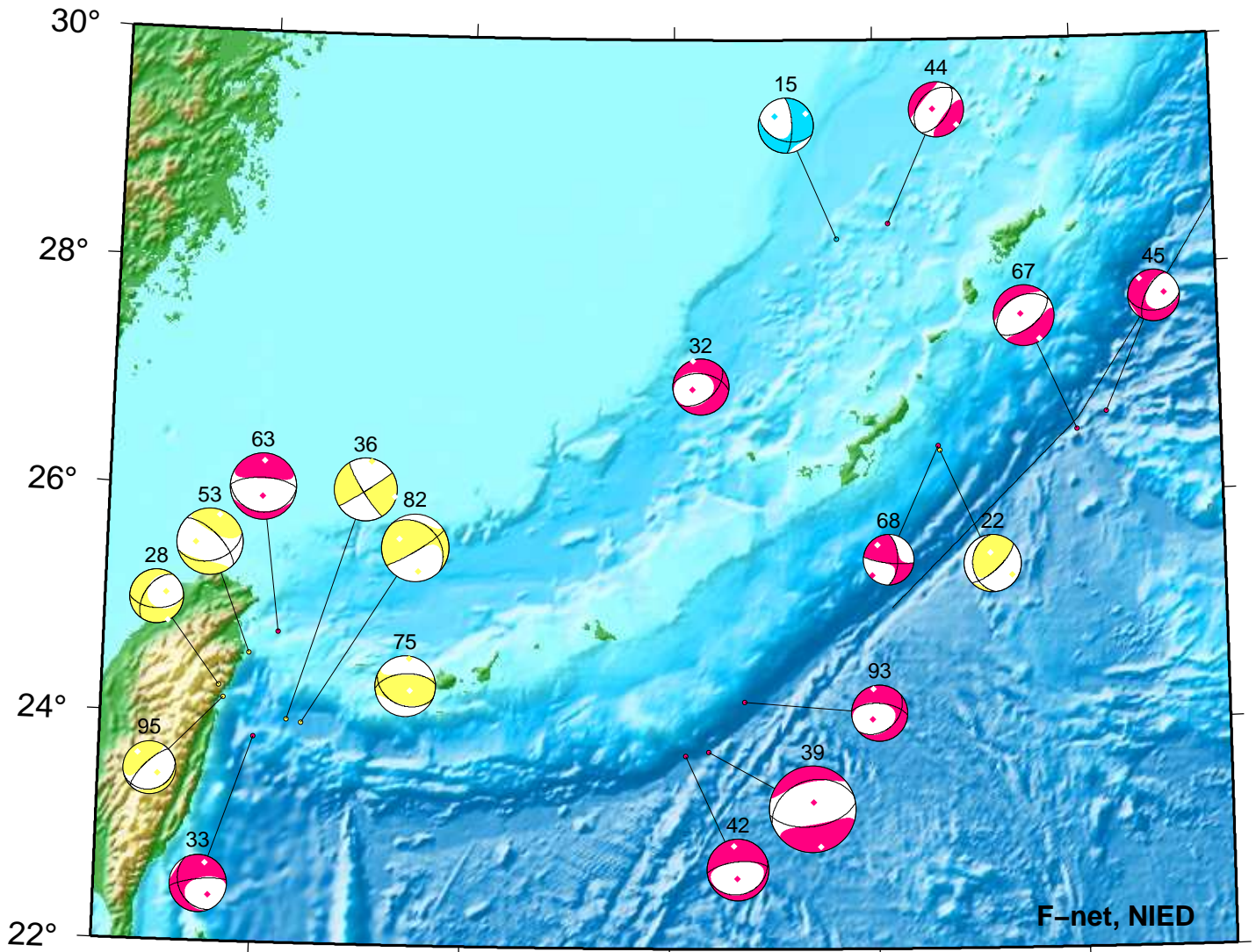
3. 11/01 05:35 Mw4.8 H_11km VR90.4
 15. 11/03 21:01 Mw4.1 H185km VR67.9
 44. 11/13 00:58 Mw4.1 H_5km VR93.1

46. 11/13 08:49 Mw3.9 H_14km VR96.2
 48. 11/13 13:45 Mw5.0 H150km VR96.4
 54. 11/14 23:23 Mw3.9 H_8km VR70.8

79. 11/23 20:30 Mw3.6 H_23km VR79.7

Okinawa

Nov 01,2021–Nov 30,2021(JST)



F-net, NIED



15. 11/03 21:01 Mw4.1 H185km VR67.9	39. 11/11 00:45 Mw6.4 H_8km VR68.4	67. 11/19 02:54 Mw4.5 H_5km VR74.2
22. 11/06 05:56 Mw4.2 H_32km VR67.0	42. 11/12 05:53 Mw4.6 H_5km VR80.9	68. 11/19 13:11 Mw3.8 H_14km VR59.8
28. 11/07 20:23 Mw4.0 H_59km VR78.1	44. 11/13 00:58 Mw4.1 H_5km VR93.1	75. 11/22 23:26 Mw4.5 H_50km VR58.5
32. 11/08 13:23 Mw4.2 H_5km VR88.4	45. 11/13 07:55 Mw3.8 H_5km VR60.4	82. 11/24 18:55 Mw5.1 H_35km VR80.5
33. 11/08 14:03 Mw4.3 H_8km VR78.2	53. 11/14 22:05 Mw4.9 H_56km VR66.7	93. 11/28 09:14 Mw4.2 H_5km VR81.8
36. 11/10 03:24 Mw4.7 H_44km VR78.3	63. 11/17 11:25 Mw4.9 H_5km VR80.7	95. 11/29 08:11 Mw4.0 H_32km VR67.9

紀伊半島・東海地域の深部低周波微動活動状況 (2021年11月)



防災科研



- 11月7～14日頃に紀伊半島南部において、やや活発な微動活動。
- 11月27日頃より紀伊半島中部から北部において、微動活動が開始。

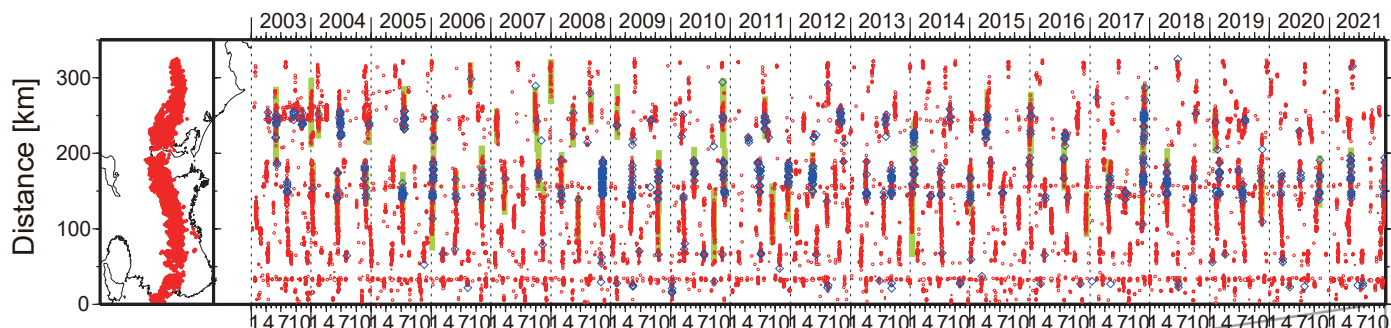


図1. 紀伊半島・東海地域における2003年1月～2021年12月4日までの深部低周波微動の時空間分布(上図). 赤丸はエンベロープ相関・振幅ハイブリッド法(Maeda and Obara, 2009)およびクラスタ処理(Obara et al., 2010)によって1時間毎に自動処理された微動分布の重心である. 青菱形は周期20秒に卓越する超低周波地震(Ito et al., 2007)である. 黄緑色の太線はこれまでに検出された短期的スロースリップイベント(SSE)を示す. 下図は2021年11月を中心とした期間の拡大図である.

11月7～14日頃には奈良県南部から三重・奈良県境付近において、やや活発な微動活動がみられた。この活動は奈良県南部から開始し、10日頃から三重・奈良県境付近で主に活動がみられた。11月27日頃からは、三重・奈良県境付近から三重県北部において、微動活動が開始している。この活動においては北東・南西方向への活動域の移動がみられ、北東方向については12月1日以降も継続して活動がみられる。11月2～5日頃には愛知県東部において、11月19～21日頃には和歌山県中部において、それぞれ小規模な微動活動がみられた。

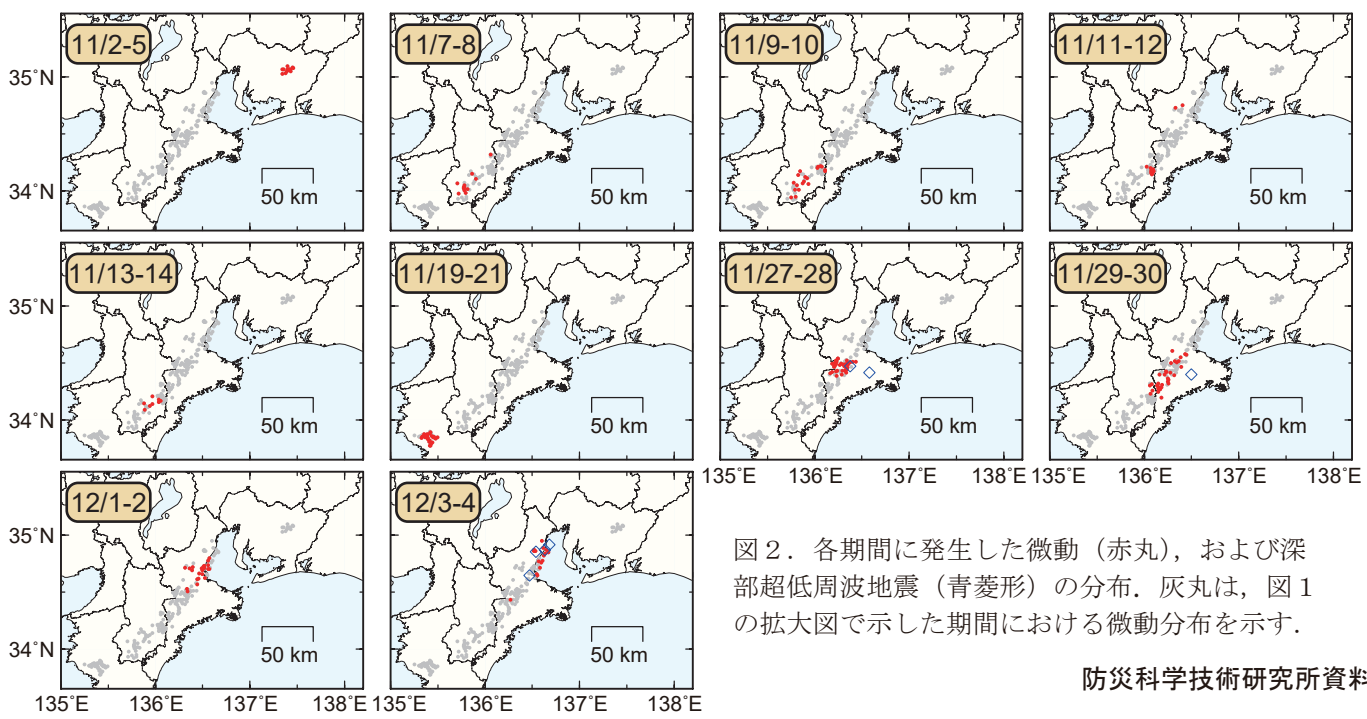
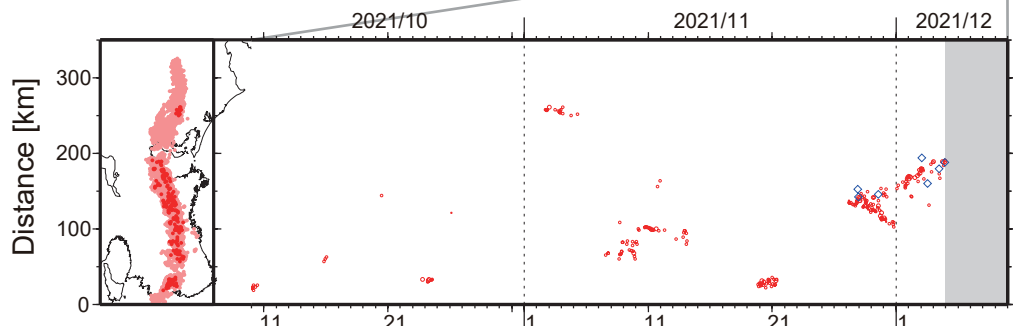


図2. 各期間に発生した微動(赤丸), および深部超低周波地震(青菱形)の分布. 灰丸は, 図1の拡大図で示した期間における微動分布を示す.

防災科学技術研究所資料

- 11月10～15日頃に四国東部において、やや活発な微動活動。
- 11月22～25日頃に四国西部において、やや活発な微動活動。
- 11月27日頃より四国東部において、微動活動が開始。

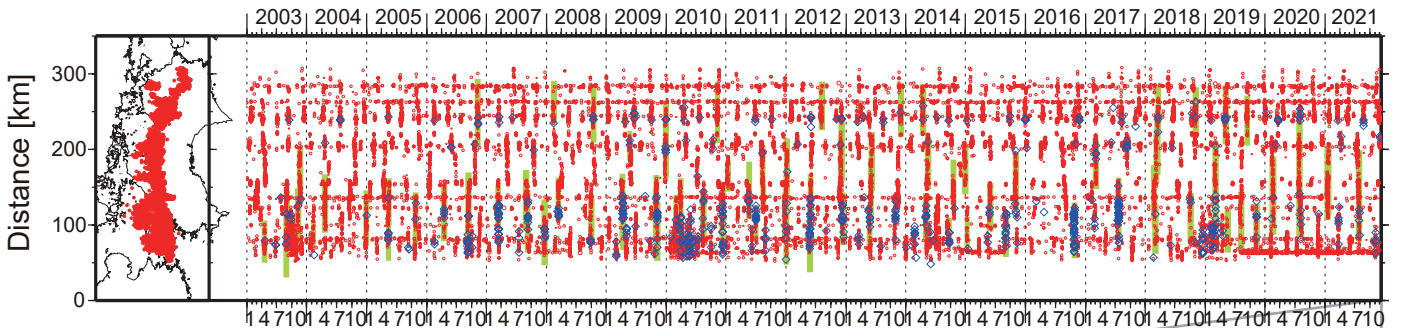


図1. 四国における2003年1月～2021年12月4日までの深部低周波微動の時空間分布(上図). 赤丸はエンベロープ相関・振幅ハイブリッド法 (Maeda and Obara, 2009) およびクラスタ処理 (Obara et al., 2010) によって1時間毎に自動処理された微動分布の重心である. 青菱形は

周期20秒に卓越する超低周波地震 (Ito et al., 2007) である. 黄緑色太線は、これまでに検出された短期的スリップイベント (SSE) を示す. 下図は2021年11月を中心とした期間の拡大図である. 11月10～15日頃には徳島県中部から愛媛県において、やや活発な微動活動がみられた. この活動では徳島県中部で活動が開始し、東西方向に活動域が拡大した. 11月22～25日頃には愛媛県中部で、やや活発な微動活動がみられた. 11月27日頃からは、愛媛・香川・徳島県境付近で活動が開始し、12月2日頃まで東方向への活動域の移動がみられた. その後、3日頃からは愛媛県東部で活動が開始している. 11月4～6日頃には豊後水道において、11月8～9日頃には愛媛・香川・徳島県境付近において小規模な活動がみられた.

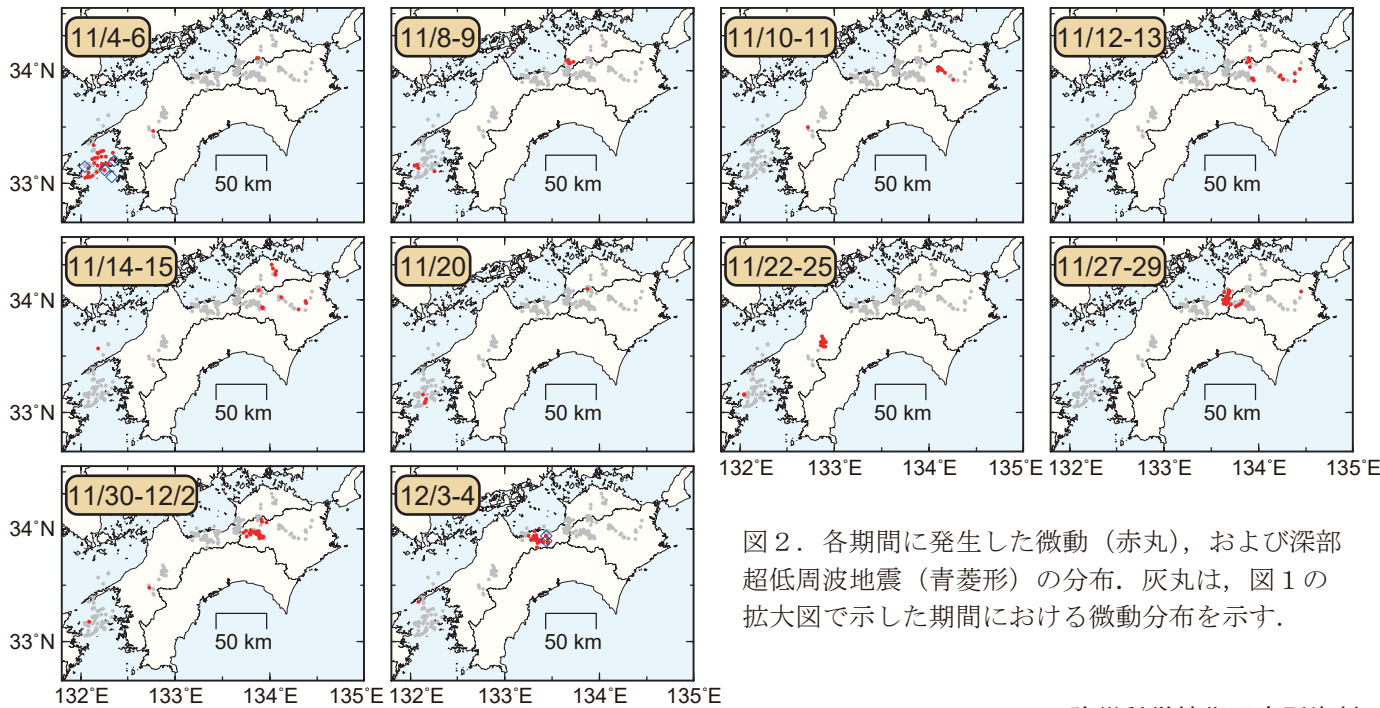
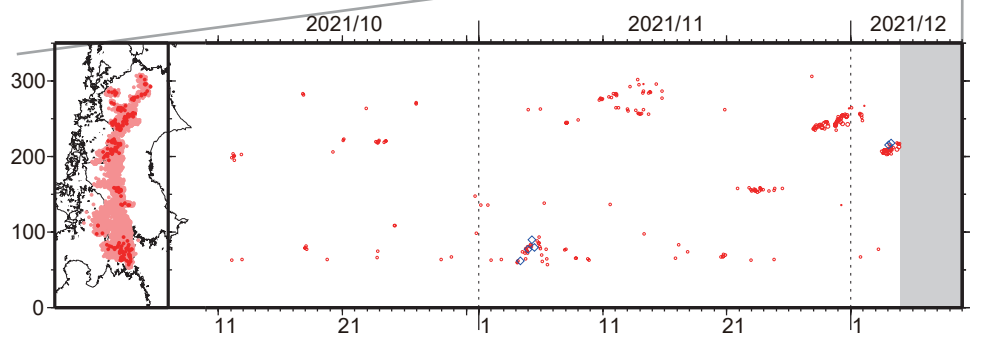


図2. 各期間に発生した微動(赤丸), および深部超低周波地震(青菱形)の分布. 灰丸は、図1の拡大図で示した期間における微動分布を示す.

2021年12月3日 紀伊水道の地震の3D CMT解析結果

2021-12-03 09:28:27

33.8°N 135.1°E Depth: 18 km / Mw 5.05

Strike [°]	Dip [°]	Rake [°]	V.R.
40/ 242	83/ 8	87/ 111	82.7 %

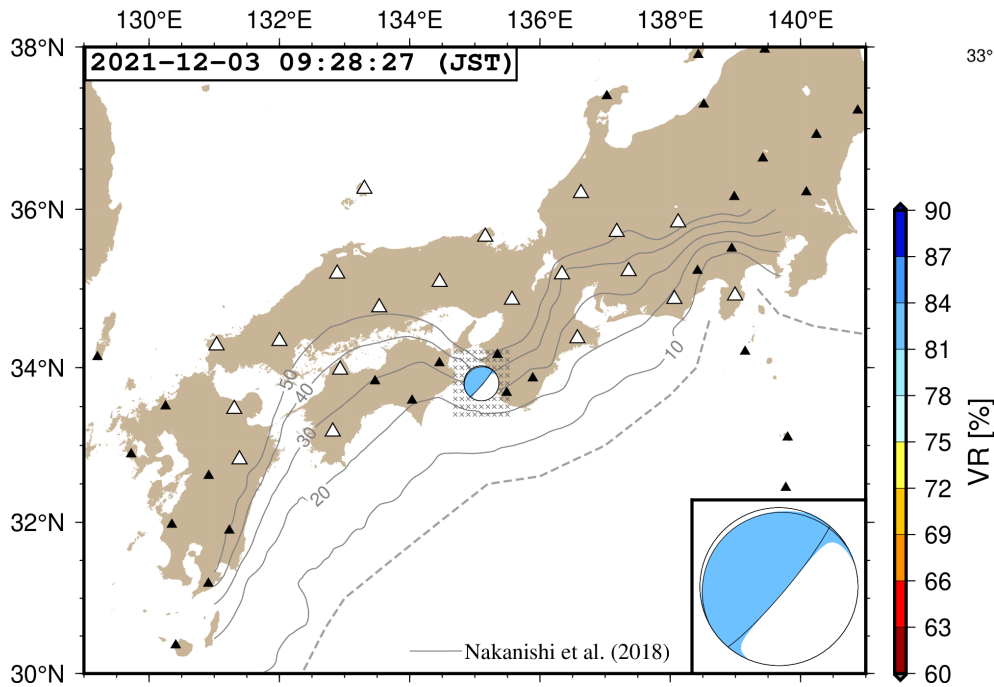


図1 三次元地震波速度構造を用いたCMT解析結果 (Takemura *et al.*, 2020)の方法による. 解析に用いたF-net観測点の位置を△で示す. 灰色線は, Nakanishi *et al.* (2018) によるフィリピン海プレート上面深度等深線を表す.

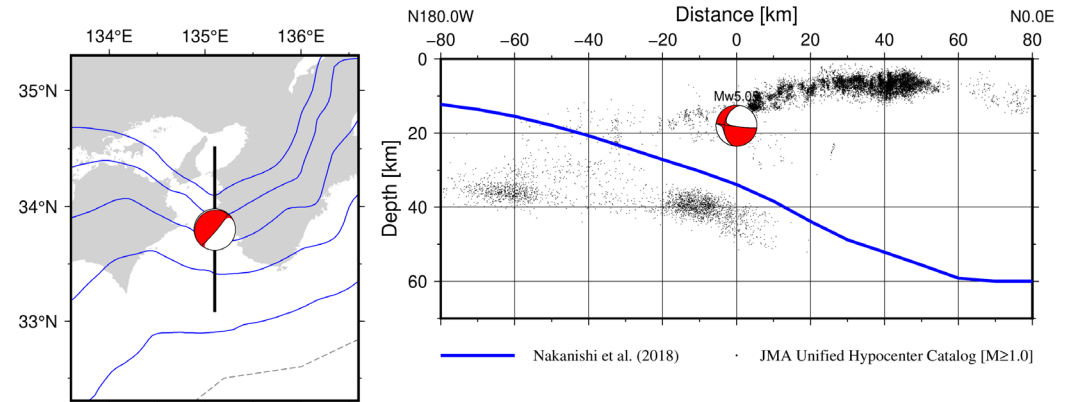


図2 鉛直断面におけるプレート上面モデル(Nakanishi *et al.*, 2018)との対比

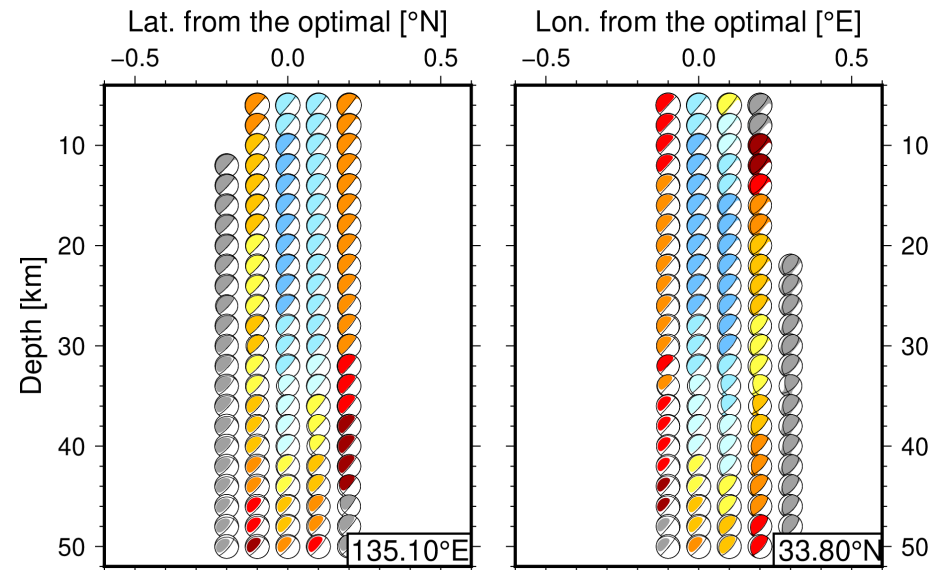


図3 最もV.R.が高かったセントロイド位置周辺のCMT解とそのV.R.. V.R.が50%以上の解のみ表示した. 配色は図1のカラーバーに同じ.